

## Двумерные степенные электронные спектрографы с плоскостью симметрии

© Н.К. Краснова

Санкт-Петербургский государственный политехнический университет,  
195251 Санкт-Петербург, Россия  
e-mail: n.k.krasnova@mail.ru

(Поступило в Редакцию 31 августа 2010 г. В окончательной редакции 25 ноября 2010 г.)

Изучены электронно-оптические характеристики двумерных электрических полей с комплексным потенциалом вида  $\Omega = i(x + iy)^n$ , где  $n$  — вещественное число. Исследование динамики частиц производится в плоскости симметрии и ее окрестности с целью построения эффективного спектрографа электронных потоков. Показано, что в диапазоне показателей степеней  $0 < n < 1$  в системе осуществляется пространственная фокусировка по углам влета конических пучков, имеющая II порядок в плоскости симметрии и, как минимум, I порядок поперек нее. Линия изображений точечного источника (линия фокусов) имеет вид прямой, лежащей в плоскости симметрии, причем порядок фокусировки не зависит от энергии частиц  $W$ . Таким образом, реализуется спектрографический принцип, появляется возможность одновременной фиксации парциальных потоков электронов на позиционно-чувствительном детекторе в широком диапазоне изменения энергий. Электродная конфигурация этих систем довольно простая и может быть использована для практической реализации спектрографа. Анализируются перспективы применения данных спектрографов в энергоанализе.

### Введение

В работах [1,2] описан общий подход к выбору электрических полей, реализующих спектрографический принцип энергоанализа потоков заряженных частиц. В качестве наиболее простого и в то же время практически эффективного класса предложены однородные по Л. Эйлеру электрические поля с плоскостью симметрии. Обширность этого класса и математические трудности не позволяют решить все вопросы в рамках одной статьи. Поэтому авторы остановились на изучении семейства таких полей, допускающие точное аналитическое интегрирование уравнений движения в плоскости симметрии. Это позволило успешно решить прямыми методами вопрос о фокусировке потоков частиц, выявить условия реализации фокусировок I и II порядков, что необходимо для повышения чувствительности спектрографов.

### Двумерные степенные спектрографы

Рассмотрим электрические поля с безразмерным комплексным потенциалом вида

$$\Omega = \psi(x, y) + i\varphi(x, y) = i(x + iy)^n, \quad (1)$$

где  $n$  — положительное вещественное число. Скалярный потенциал  $\varphi(x, y)$ , очевидно, симметричен по координате  $y$

$$\varphi(x, y) = \varphi(x, -y). \quad (2)$$

В полярных координатах  $r = \sqrt{x^2 + y^2}$ ,  $\gamma = \arctg \frac{y}{x}$  потенциал приобретает вид

$$\varphi(r, \gamma) = r^n \cos n\gamma. \quad (3)$$

В плоскости симметрии потенциал  $\varphi$  имеет степенную зависимость

$$\varphi|_{y=0} = x^n. \quad (4)$$

Класс полей (1) содержит в себе хорошо известные типы полей: например, при  $n = 1$  — поле плоского конденсатора, при  $n = 2$  — поле квадрупольного конденсатора, при  $n = -1$  — поле касающихся цилиндров, а при  $n = -2$  — поле цилиндров с сечением в виде лемнискат Бернулли. Наиболее яркий пример с уникальными свойствами и для нашей темы представляет вариант  $n = 1$ . Будучи однородными по Л. Эйлеру, все указанные поля могут реализовать спектрографический принцип разделения и фокусировки потоков заряженных частиц, причем уже случай плоского электростатического поля ( $n = 1$ ) исключительно эффективен. Нами будет изучен спектр показателей  $0 < n < 2$ , в котором поле имеет в нуле интегрируемую особенность. Это позволяет выпускать частицы из начала координат  $x = y = z = 0$ , причем в условиях, когда появляется поперечная фокусирующая сила. Сначала изучим движение в средней плоскости  $(x, z)$  при  $y = 0$ . Уравнения динамики и начальные данные в безразмерной модели движения [3]

$$\begin{cases} \ddot{x} = -nx^{n-1}, \\ \ddot{z} = 0, \end{cases} \quad (5)$$

$$x|_{\tau=0} = 0, \quad y|_{\tau=0} = 0, \quad z|_{\tau=0} = 0,$$

$$x|_{\tau=0} = \dot{x}_0, \quad y|_{\tau=0} = 0, \quad z|_{\tau=0} = \dot{z}_0.$$

Вдоль оси  $z$  имеем дрейф

$$z = \dot{z}_0\tau. \quad (6)$$

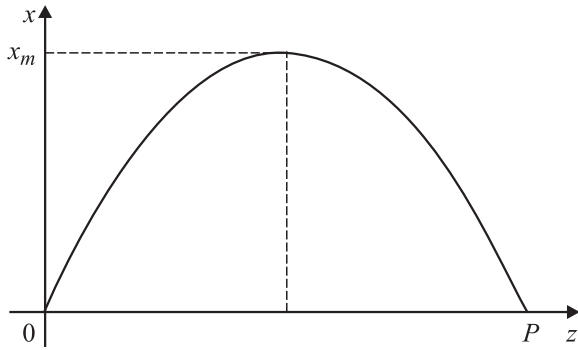


Рис. 1. Движение частицы в плоскости симметрии.

Выражение, описывающее движение частицы вдоль оси  $x$ , найдем, используя интеграл энергии,

$$\tau = \frac{1}{\sqrt{2}} \int_0^x \frac{dx}{\sqrt{A - x^n}}, \quad (7)$$

где  $A = \dot{x}_0^2/2$  —  $x$ -компонента кинетической энергии  $W = (\dot{x}_0^2 + \dot{z}_0^2)/2$ . Интеграл (7), очевидно, берется в элементарных функциях для значений

$$n = 2, 1, \frac{1}{2}, \frac{1}{3}, \frac{1}{4}, \frac{1}{5}, \dots, \frac{2}{3}, \frac{2}{5}, \frac{2}{7}, \frac{2}{9}, \dots \quad (8)$$

Частица, стартующая из начала координат, в плоскости симметрии ( $x, z$ ) под углом  $\theta$  к оси  $z$  с энергией  $W$  описывает симметричную дугу и возвращается в точку  $z = P$  (рис. 1). Время полета  $\tau_P$  до точки  $P$  равно удвоенному времени полета до вершины траектории  $x_m$  и дается формулой

$$\tau_P = \sqrt{2} \int_0^{x_m} \frac{dx}{\sqrt{A - x^n}}, \quad (9)$$

где координата вершины  $x_m$  определяется из условия  $\dot{x}|_{x=x_m} = 0$ , или

$$\sqrt{A - x_m^n} = 0. \quad (10)$$

Полагая  $x = A^{1/n}p$ , приведем интеграл (9) к виду

$$\tau_P = \sqrt{2} A^{1/n-1/2} \int_0^1 \frac{dp}{\sqrt{1 - p^n}}. \quad (11)$$

Численное значение интеграла (11) легко вычисляется в элементарных функциях для всех показателей (8), а во всех остальных случаях выражается через  $\Gamma$ -функцию Л. Эйлера.

Из (6) и (11), полагая  $A = W \sin^2 \theta$ ,  $\dot{z}_0 = \sqrt{2W} \cos \theta$ , выразим координату возврата частицы на ось  $z$

$$P = \dot{z}_0 \tau_P = KW^{1/n} \cos \theta \sin^m \theta, \quad (12)$$

где введены обозначения

$$K = 2 \int_0^1 \frac{dp}{\sqrt{1 - p^n}}, \quad m = \frac{2-n}{n}.$$

При  $n = 1$  имеет место вариант плоского электростатического зеркала с фокусировкой I порядка при угле старта  $\theta = 45^\circ$

$$P = 2W \sin 2\theta.$$

Найдем условия фокусировки I порядка для любого  $n > 0$

$$\frac{dP}{d\theta} = KW^{1/n} (-\sin^{m+1} \theta + m \cos^2 \theta \sin^{m-1} \theta) = 0, \quad (13)$$

отсюда

$$\operatorname{tg}^2 \theta = m = \frac{2-n}{n}. \quad (14)$$

Это уравнение имеет вещественный корень  $\theta$  в интервале показателей

$$0 < n < 2. \quad (15)$$

Угол фокусировки не зависит от энергии  $W$ . Следовательно, точечный источник, имеющий в своем спектре набор энергий  $W$ , при вырезании сектора по углу вылета с осевым значением (14) создаст вдоль оси  $z$  цепочку пространственно разделенных пятен изображений. Тем самым осуществляется режим спектрографа. Распределение этих локальных изображений получается из (12) подстановкой  $\theta$  из (14):

$$P_f = \frac{K}{\sqrt{2}} W^{1/n} \sqrt{n} \left( \frac{n-2}{2} \right)^{(2-n)/2}. \quad (16)$$

Таким образом, получено семейство однородных полей с фокусировкой I порядка, имеющее несомненную ценность для синтеза спектрографов, однако этого мало. Попытаемся получить общие условия фокусировки II порядка, помня, что таковые осуществляются в плоском конденсаторе при  $\theta = 30^\circ$  [4].

## Фокусировка II порядка

Переместим источник вдоль оси  $x$  вниз на величину  $h$  в область отрицательных значений ( $x < 0$ ), в дрейфовое пространство, полагая ось  $z$  границей поля (рис. 2).

Выражение для  $P$  в новых условиях

$$P = h \operatorname{ctg} \theta + KW^{1/n} \cos \theta \sin^m \theta. \quad (17)$$

Описав дугу в поле, частица вновь попадает в дрейфовое пространство  $x < 0$  и летит по прямой  $PR$ , уравнение которой

$$x = -\operatorname{tg} \theta (z - P). \quad (18)$$

Пересечем поток этих прямых секущей прямой — экраном  $x = -\xi$  — и будем изучать след траекторий.

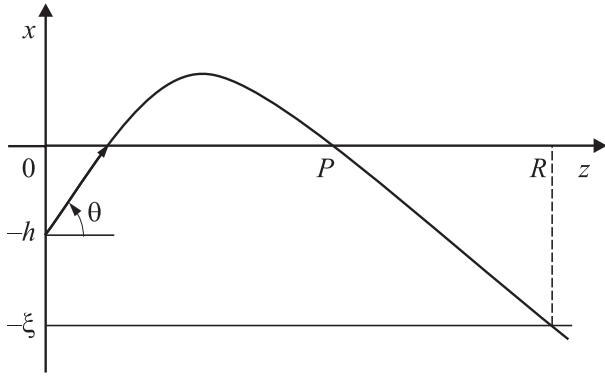


Рис. 2. Траектория частицы в плоскости симметрии поля с учетом дрейфового пространства.

Полагая в (18)  $x = -\xi$  и  $z = R$ , получим выражение для  $R$

$$R = \xi \operatorname{tg} \theta + P = (h + \xi) \operatorname{ctg} \theta + KW^{1/n} \cos \theta \sin^m \theta. \quad (19)$$

Потребуем от  $R$  выполнения условий фокусировки II порядка по углу  $\theta$ :

$$\begin{cases} \frac{dR}{d\theta} = -\frac{h + \xi}{\sin^2 \theta} + KW^{1/n}(-\sin^{m+1} \theta + m \cos^2 \theta \sin^{m-1} \theta) = 0, \\ \frac{d^2R}{d\theta^2} = \frac{2(h + \xi) \cos \theta}{\sin^3 \theta} + KW^{1/n} \cos \theta[-(3m + 1) \sin^m \theta + m(m - 1) \cos^2 \theta \sin^{m-2} \theta] = 0. \end{cases} \quad (20)$$

Выразим величину  $(h + \xi)/\sin^2 \theta$  из (20) и подставим в (21). Образуется уравнение, в котором присутствует общий множитель  $KW^{1/n} \cos \theta \sin^m \theta$ , его можно сократить в предположении, что  $\theta \neq 0$  и  $\theta \neq \pi/2$ .

$$2(-\sin^2 \theta + m \cos^2 \theta) + [-(3m + 1) \sin^2 \theta + m(m - 1) \cos^2 \theta] = 0. \quad (22)$$

Оно приводится к виду

$$\operatorname{tg}^2 \theta = \frac{m}{3} = \frac{2 - n}{3n}, \quad \operatorname{tg} \theta_f = \sqrt{\frac{2 - n}{3n}}. \quad (23)$$

Это уравнение имеет вещественный корень только при  $0 < n < 2$ . Итак, для угла фокусировки II порядка имеем очень простое выражение

$$\theta_f = \arctg \sqrt{\frac{2 - n}{3n}}. \quad (24)$$

Встраивая  $\theta_f$  из (24) в (18) и (19), найдем координаты точек фокусировки II порядка в дрейфовом простран-

стве. Окончательные формулы выглядят как

$$-\xi|_{\theta=\theta_f} = x_f = h - K \frac{1}{2^{1/n}} \left( \frac{2 - n}{1 + n} \right)^{(1+n)/n} W^{1/n}, \quad (25)$$

$$R|_{\theta=\theta_f} = z_f = K \frac{3\sqrt{3n}}{2^{1/n}} \frac{(2 - n)^{1/n-1/2}}{(1 + n^{1/n+1})} W^{1/n}. \quad (26)$$

При фиксированном показателе  $n$  линия изображений (фокусная линия) представляет собой наклонную прямую с углом  $\delta$ , вдоль которой движутся сфокусированные пятна изоэнергетических струй при изменении энергии  $W$  (рис. 3):

$$\operatorname{tg} \delta = \frac{dx_f}{dz_f} = -\frac{1}{3} \sqrt{\frac{(2 - n)^3}{3n}}. \quad (27)$$

Сравнив (27) и (23), видим, что

$$\operatorname{tg} \delta = -\frac{2 - n}{3} \operatorname{tg} \theta_f. \quad (28)$$

При  $W = 0$  в условиях фокусировки II порядка изображение мнимое и расположено в точке  $x = h, z = 0$ , далее с ростом  $W$  оно скользит вниз к границе поля, оставаясь мнимым, пока  $W$  не достигнет критического значения, при котором  $x_f$  из (25) не обратится в нуль

$$h - K \frac{1}{2^{1/n}} \left( \frac{2 - n}{1 + n} \right)^{(1+n)/n} W^{1/n} = 0. \quad (29)$$

Отсюда

$$W_{kr} = \frac{2h^n}{K^n} \left( \frac{1 + n}{2 - n} \right)^{1+n}. \quad (30)$$

При дальнейшем увеличении энергии изображение становится действительным и движется по прямой, задаваемой (25) и (26), вниз в дрейфовое пространство (рис. 4).

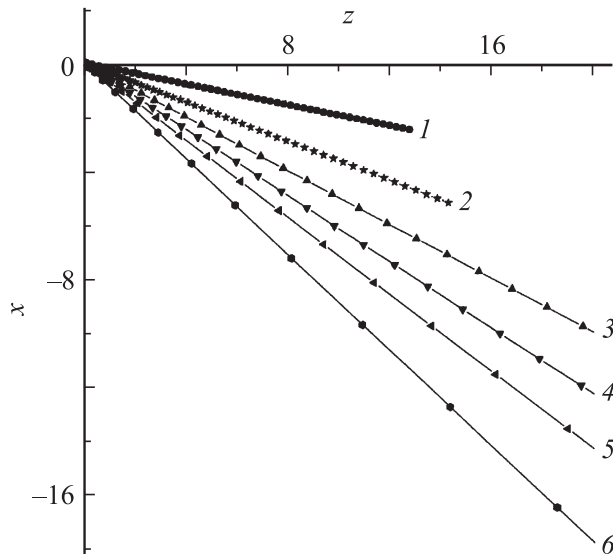


Рис. 3. Линии фокусов, полученные в плоскости  $(x, z)$  при вынесенном источнике  $h = -0.1$ , для разных показателей  $n$ : 1 — 1; 2 — 2/3; 3 — 1/2; 4 — 2/5; 5 — 1/3; 6 — 1/4.

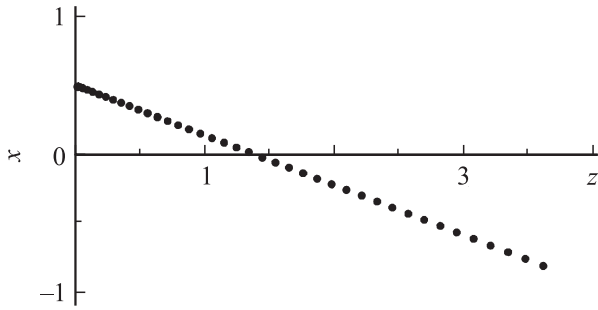


Рис. 4. Фокусная линия при вынесенном источнике  $h = -0.5$  для показателя  $n = 2/3$ .

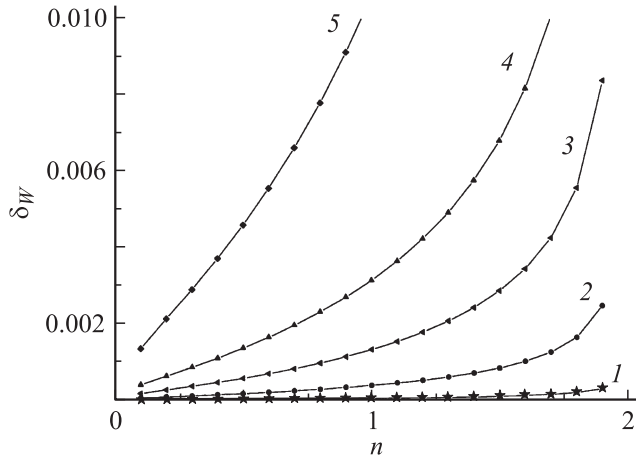


Рис. 5. Удельная дисперсия в условиях фокусировки II порядка для пучков с разным разбросом начальных углов  $2\Delta\theta$ : 1 — 2, 2 — 4, 3 — 6, 4 — 8, 5 — 12°.

Если вдоль этой прямой расположить позиционно-чувствительный детектор (ПЧД), то в системе реализуется спектрографический режим энергоанализа при одновременной фиксации широкого диапазона энергий.

Пусть спектр вылета частиц из источника имеет угловой растров  $2\Delta\theta$  и симметричен относительно оси  $\theta_0$ , где  $\theta_0$  — угол фокусировки II порядка. Вычисляем величину  $d^3R/d\theta^3$  в этих условиях, чтобы оценить ширину размытия изображения  $\Delta R$ . Опуская достаточно длинные, но тривиальные алгебраические вычисления, приведем только окончательную формулу. Она имеет весьма простое выражение

$$\Delta R \approx -8 \frac{K}{n} \left(\frac{W}{2}\right)^{1/n} \left(\frac{2-n}{1+n}\right)^{1/n-1} (\Delta\theta)^3. \quad (31)$$

Дисперсия по энергии  $W$  дается выражением

$$D = W \frac{dR}{dW} = \frac{K}{n} W^{1/n} \cos \theta \sin^m \theta. \quad (32)$$

В условиях фокусировки II порядка получим

$$D|_{\theta=\arctg \sqrt{\frac{m}{n}}} = \sqrt{\frac{3}{n}} K \left(\frac{W}{2}\right)^{1/n} \frac{(2-n)^{1/n-1/2}}{(1+n)^{1/n}}. \quad (33)$$

Удельная дисперсия в данном случае, выражающая возможное энергетическое разрешение при точечном источнике, примет вид

$$\delta_W \cong \frac{|\Delta R|}{D} = \frac{8(1+n)}{\sqrt{3}} \sqrt{\frac{n}{2-n}} (\Delta\theta)^3. \quad (34)$$

Зависимость этой очень важной функции в интересующем нас интервале показателей  $0 < n < 2$  приведена на рис. 5. Видно, что при малых показателях разрешение существенно возрастает по сравнению с плоским зеркалом ( $n = 1$ ), однако реализовать показатели  $n < 1/2$  мы не сможем по топологическим условиям для электродной конфигурации. Но можно дать оценку

$$\min \delta_W = \delta_W|_{n=1/2} = 4(\Delta\theta)^3. \quad (35)$$

При  $2\Delta\theta = 6^\circ$  можно получить разрешение порядка 0.06%. Это в 2.3 раза превышает разрешение плоского конденсатора при тех же условиях. Следует заметить, что при расположении ПЧД вдоль линии фокусов (изображений) рост дисперсии с увеличением энергии  $W$  и распухание пятна изображения взаимно компенсируются, как и в плоском зеркале, поэтому и сбор электронов для сохранения светосилы должен производиться по такой же схеме.

## Поперечная фокусировка

До сих пор речь шла о движении в плоскости симметрии  $y = 0$  для данного класса полей, но для практической реализации нам необходимо знать поведение боковых траекторий, для которых  $y_0 \neq 0$ , конечно, предполагая, что поперечный угловой разброс достаточно мал.

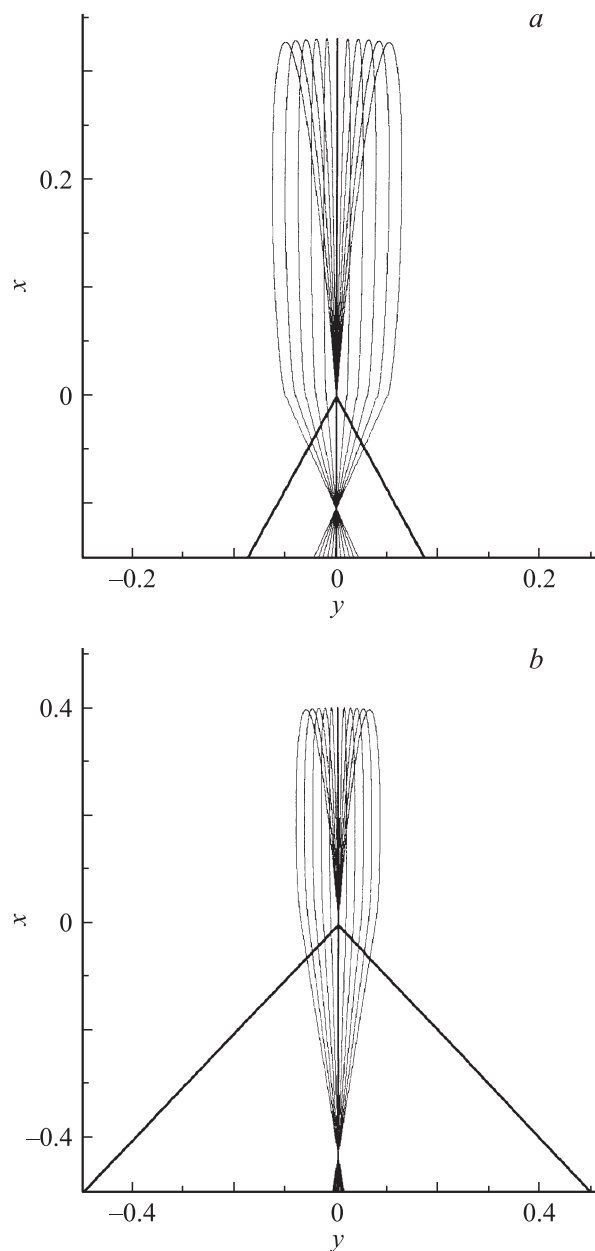
В окрестности плоскости симметрии разложим скалярный потенциал в обычный ряд по степеням  $y$ , тогда

$$\varphi = x^n - \frac{n(n-1)x^{n-2}}{2} y^2 + \frac{n(n-1)(n-2)(n-3)x^{n-4}}{24} y^4 - \dots \quad (36)$$

В предположении, что по  $y$  частица не слишком удаляется от плоскости симметрии, можно пренебречь высшими степенями и записать стандартные уравнения параксиальных траекторий

$$\begin{cases} \ddot{x} = -nx^{n-1}, \\ \ddot{y} = n(n-1)x^{n-2}y. \end{cases} \quad (37)$$

Из этих уравнений следует, что при  $n < 1$  сила вдоль  $y$  притягивает частицы к плоскости симметрии, а при  $n > 1$ , напротив, отталкивает, расфокусирует пучок. Случай  $n = 1$ , когда эта сила равна нулю, следует считать также „расфокусированным“. Значит, существует и промежуточный вариант: при показателе  $n = 0.936$



**Рис. 6.** Поперечная фокусировка в полях с различными показателями  $n$ :  $a$  —  $3/5$ ;  $b$  —  $2/3$ . Начальные условия движения частиц:  $x_0 = 0.001$ ,  $y_0 = 0$ ,  $W = 0.5$ ,  $-5 < \alpha < 5^\circ$ .

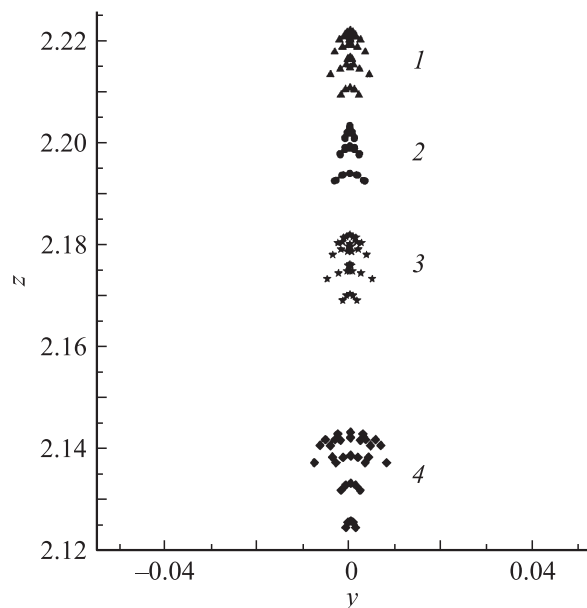
пучок, выходящий из точки, преобразуется полем в параллельный.

Итак, в области  $0 < n < 1$  следует ожидать появления поперечной фокусировки. Здесь более удобно воспользоваться прямым компьютерным моделированием, поскольку аналитическими методами данные уравнения при  $n \neq 1$  интегрируются с большими трудностями и только в приближенной форме. Опуская технические детали моделирования, приведем серию траекторных портретов, из которых явно виден эффект поперечной фокусировки (рис. 6) и его динамика в зависимости от  $n$ .

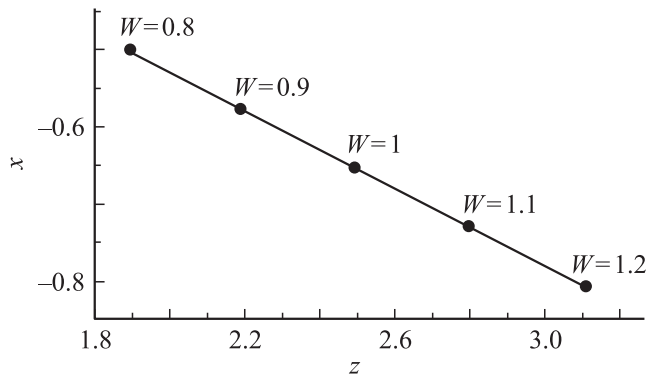
Качество фокусировки не превышает I порядка в силу „параксиального“ приближения для траекторий, но этого достаточно для определения объемной фокусировки пучка. Точки фокусировки в плоскости  $(x, z)$  и поперечной не совпадают в пространстве. Изображение точечного объекта в поле с фиксированным значением показателя  $n$  получается стигматичным. Однако можно при выбранных начальных условиях движения добиться минимального размера пучка в продольном и поперечном направлениях в некой области пространства, отличной от точных условий фокусировки как в плоскости  $(x, z)$ , так и плоскости  $(x, y)$ , и тем самым обеспечить объемную фокусировку пучка.

Для этого можно фиксировать энергию  $W$  и угол фокусировки в плоскости  $(x, z)$  и далее, меняя  $n$ , можно заставить переместиться точку поперечной фокусировки в плоскости  $(x, z)$  в соответствующую точку фокусировки, о которых сказано выше. В результате этих вычислительных процедур находим, что в системе реализуется пространственная фокусировка II порядка в направлении  $z$  и I порядка в направлении  $y$ .

Между показателем поля  $n$  и углом фокусировки II порядка существует взаимнооднозначное соответствие (24), поэтому каждому углу ввода пучка найдется по выше описанной методике свой показатель поля  $n$ , при котором реализуется объемная фокусировка. Например, при  $\theta = 45^\circ$ , что соответствует условию фокусировки II порядка в плоскости  $(x, z)$  в поле с показателем  $n_0 = 1/2$ , объемная фокусировка достижима при  $n = 0.7948$  (рис. 7), а при  $\theta = 35^\circ$  ( $n_0 = 0.8094$ ) —  $n = 0.8536$ .



**Рис. 7.** Эффект объемной фокусировки в дрейфовой области при условиях ввода пучка  $x_0 = -0.1$ ,  $y_0 = 0$  и  $W = 1$ ;  $42 < \theta < 48^\circ$ ,  $-2 < \alpha < 2^\circ$ , поле с показателем  $n = 0.7948$ . След пучка на различных плоскостях  $x$ :  $1$  —  $0.48$ ,  $2$  —  $-0.46136$ ,  $3$  —  $-0.44$ ,  $4$  —  $-0.4$ .



**Рис. 8.** Объемная фокусировка в дрейфовой области при условиях ввода пучка с параметрами:  $x_0 = -0.1$ ,  $y_0 = z_0 = 0$ ,  $32 < \theta < 38^\circ$ ,  $-2 < \alpha < 2^\circ$ ; поле с показателем  $n = 0.8536$ . Значения энергии частиц  $W$  указаны на рисунке.

При вариации энергии  $W$  этот „объемный“ фокус скользит вдоль прямой в дрейфовом пространстве (рис. 8) в соответствии с принципом подобия. Вдоль нее и следует расположить плоский ПЧД. Этот режим отличается особенной простотой управления и сбора информации о спектре.

## О геометрии электродов

Для определения формы электродов, задающих пространственное распределение поля, следует изучить эквипотенциальные портреты для показателей степени  $n$  в наиболее интересном для задач спектрографии интервале  $0 < n < 2$ , в котором реализуется фокусировка II порядка в плоскости симметрии  $y = 0$ . В данной статье рассмотрен интервал  $0 < n < 1$ , гарантирующий появление пространственной фокусировки, однако не исключается возможная польза интервала  $1 < n < 2$ , где имеет место расфокусировка по направлению оси  $y$ , так что вдоль прямой с фокусами II порядка по  $\theta$  образуется система поперечных полосок изображения, отвечающих разным значениям энергии  $W$ .

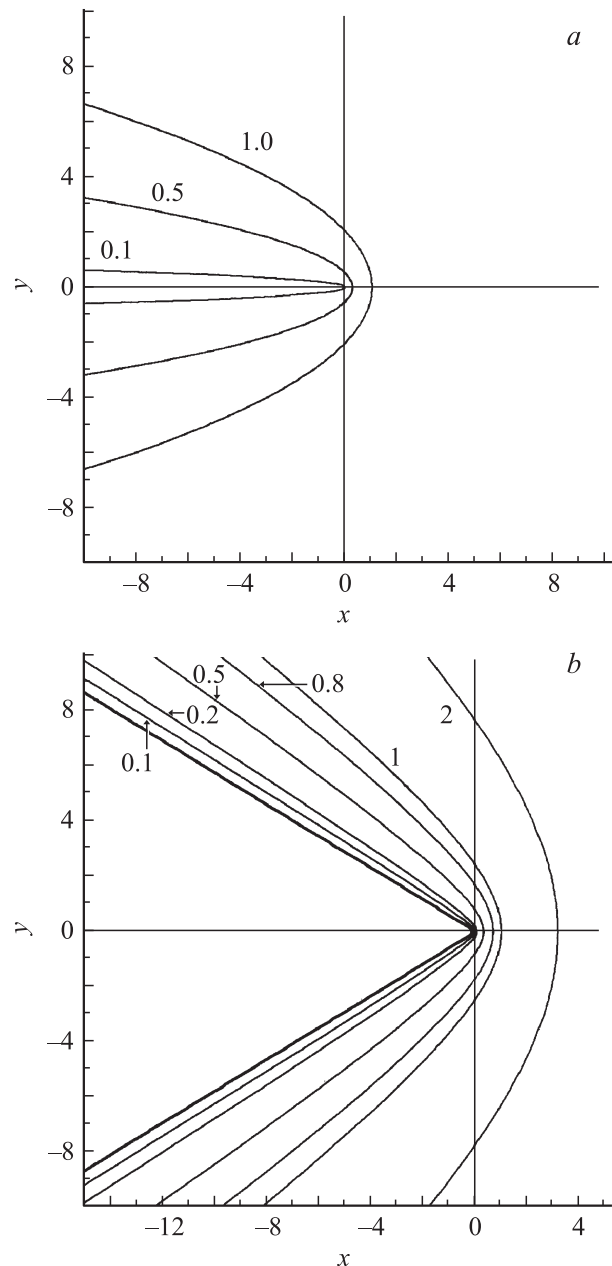
Комплексные степенные потенциалы  $\Omega$  имеют особенность при  $x = y = 0$ , характер которой определяется знаком и алгебраической природой числа  $n$ . Для целых положительных  $n$  — это обычная регулярная точка, для отрицательных целых  $n$  — полюса различных порядков, но для дробных  $n$ , и тем более трансцендентных, начало координат становится существенной особенностью и, в частности, для рациональных  $n$  — это точка ветвления с конечным числом листов римановой поверхности. Это обстоятельство отражается и на топологии эквипотенциальных портретов

$$r^n \cos n\gamma = \text{const.} \quad (38)$$

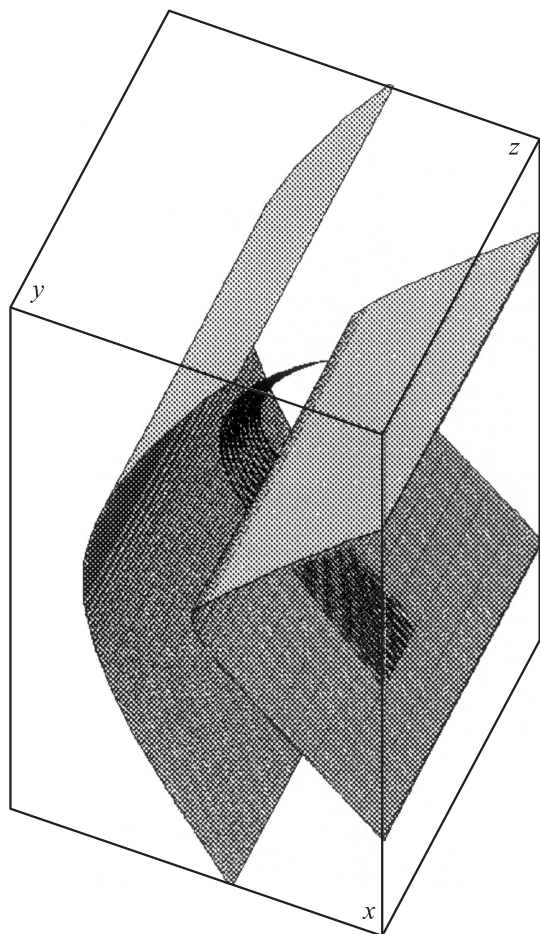
На рис. 9 приведены эквипотенциальные портреты для значений  $1/2 \leq n < 2$ . В интервале  $0 < n < 1/2$  не удастся выделить однозначную ветвь аналитической

функции с разумной физической структурой эквипотенциалей для реализации электродов, охватывающих найденные нами потоки сфокусированных траекторий. Но для  $1/2 < n < 1$  обнаруживается множество профилей, обеспечивающих удобную реализацию электродов в условиях стигматичной пространственной фокусировки пучков. На рис. 10 приведен в аксонометрии чертеж возможных поперечных электродов и ход пучков в них. По существу, это принципиальная электронно-оптическая схема спектрографа, возможно, еще не оптимального.

Исследованный класс двумерных полей, относящийся к однородным по Л. Эйлеру полям, не является един-



**Рис. 9.** Эквипотенциальные портреты полей с разными показателями  $n$ :  $a$  —  $1/2$ ;  $b$  —  $3/5$ .



**Рис. 10.** Конструкция двумерного электронного спектрографа с плоскостью симметрии и траектории частиц в нем.

ственным для реализации спектрографического принципа разделения потока заряженных частиц. Среди класса двумерных полей с плоскостью симметрии можно найти и другие, где поток электронов разделяется на парциальные струи. Например, на базе поля, сформированного между электродами простой формы — кругового цилиндра и двугранного угла ([5]), может быть реализован спектрограф, у которого осуществляется фокусировка II порядка в плоскости дисперсии и поперечная фокусировка II порядка, что гораздо лучше, чем у степенных спектрографов. Заслуживает внимание и спектрограф на основе усеченного конуса ([6]). В режиме с фокусировкой поперечной электронно-оптические параметры весьма умеренные. Однако здесь фокусы располагаются на кривой, в отличие от рассмотренных в статье.

## Заключение

Данное исследование показало, что класс симметричных двумерных электрических полей со степенным комплексным потенциалом имеет несомненные достоинства как база для создания весьма эффективных

по дисперсии, светосиле и разрешающей способности спектрографов заряженных частиц с максимально широким диапазоном измеряемых энергий. Источник частиц предполагается по возможности близким к точечному, из которого высекается телесный угол прямоугольного или овального поперечного сечения так, что образуется поток, концентрирующийся в окрестности плоскости симметрии. Несомненным удобством предлагаемого класса спектрографов является возможность применения в качестве коллектора плоского позиционно-чувствительного детектора с сохранением энергетического разрешения по всему фиксируемому диапазону энергий. Данный класс полей следует считать весьма перспективным для решения общих задач спектрографии.

## Список литературы

- [1] Голиков Ю.К., Краснова Н.К. // Прикладная физика. 2007. № 2. С. 5–11.
- [2] Голиков Ю.К., Краснова Н.К. // ЖТФ. 2011. Т. 81. Вып. 2. С. 9–15.
- [3] Голиков Ю.К., Уткин К.Г., Чепарухин В.В. Расчет элементов электростатических электронно-оптических систем: Учеб. пособие. Л.: Изд-во ЛПИ, 1984. 79 с.
- [4] Афанасьев В.П., Явор С.Ч. Электростатические энергоанализаторы для пучков заряженных частиц. М.: Наука, 1978. 224 с.
- [5] Фишкова Т.Я. // ЖТФ. 1987. Т. 57. Вып. 7. С. 1358–1364.
- [6] Овсянникова Л.П., Фишкова Т.Я. // ЖТФ. 2001. Т. 71. Вып. 11. С. 133–135.